

## 载 Ag 二氧化钛纳米管的制备及其光催化性能

李海龙<sup>1</sup> 罗武林<sup>1</sup> 陈 涛<sup>1</sup> 田文宇<sup>1</sup> 孙 茂<sup>1</sup>  
 黎 春<sup>1</sup> 朱 地<sup>1</sup> 刘冉冉<sup>1</sup> 赵宇亮<sup>2</sup> 刘春立<sup>1,\*</sup>

(<sup>1</sup>北京大学化学与分子工程学院, 北京分子科学国家实验室, 北京 100871; <sup>2</sup>中国科学院高能物理研究所, 核分析技术开放重点实验室及国家纳米中心-高能物理所纳米生物效应联合实验室, 北京 100049)

**摘要:** 以金红石相二氧化钛( $TiO_2$ )粉体为原料, 采用水热法合成了二氧化钛纳米管(TNTs), 在碱性条件下与  $AgNO_3$  的乙二醇溶液反应, 得到表面载 Ag 的二氧化钛纳米管(Ag/TNTs)。利用透射电镜(TEM)、电子衍射能谱(EDS)、X 射线衍射(XRD)、X 射线光电子能谱(XPS)和紫外-可见光谱(UV-Vis)对产物进行了表征, 重点研究了 Ag/TNTs 对甲基橙(MO)紫外光催化降解性能。结果表明, 经 Ag 表面修饰后, 纳米管的晶型结构没有发生明显变化, 并且 Ag 粒子能很好地分散在纳米管的外表面。Ag 粒子的直径约为 4 nm, 以单质 Ag 的形态存在。Ag/TNTs 在可见光区域表现出较强的吸收, 光催化降解甲基橙实验结果表明, Ag/TNTs 的光催化活性较金红石相二氧化钛粉体和纯 TNTs 有着显著的提高。

**关键词:** 纳米管; 二氧化钛; Ag; 水热法; 光催化

**中图分类号:** O644

## Preparation and Photocatalytic Performance of Titania Nanotubes Loaded with Ag Nanoparticles

LI Hai-Long<sup>1</sup> LUO Wu-Lin<sup>1</sup> CHEN Tao<sup>1</sup> TIAN Wen-Yu<sup>1</sup> SUN Mao<sup>1</sup>  
 LI Chun<sup>1</sup> ZHU Di<sup>1</sup> LIU Ran-Ran<sup>1</sup> ZHAO Yu-Liang<sup>2</sup> LIU Chun-Li<sup>1,\*</sup>

(<sup>1</sup>Beijing National Laboratory for Molecular Science, College of Chemistry & Molecular Engineering, Peking University, Beijing 100871, P. R. China; <sup>2</sup>Laboratory for Bio-Environmental Health Sciences of Nanoscale Materials and Nanosafety and Key Laboratory of Nuclear Analytical Techniques, Institute of High Energy Physics, Chinese Academy of Sciences, Beijing 100049, P. R. China)

**Abstract:** Titania nanotubes (TNTs) were synthesized by hydrothermal treatment of rutile-phase  $TiO_2$  nanoparticles in 10 mol·L<sup>-1</sup> NaOH solution at 110 °C for 24 h. The Ag loaded titania nanotubes (Ag/TNTs) were obtained by chemical deposition method with the TNTs suspending in the  $AgNO_3$  solution (pH=8) at 50 °C. The characterizations of the as-synthesized samples were performed by TEM, EDS, XRD, XPS, and UV-Vis spectra. The photocatalytic performance of the Ag/TNTs was investigated by UV-light induced photocatalytic decomposition of methyl orange(MO). The results showed that the inner/outer diameters of TNTs were about 6/10 nm and the length was several hundred nanometers. Both the shape and the crystalline of the nanotubes were not changed after the modification. The zero oxidation state Ag quantum dots, about 4 nm in diameter, were well dispersed on the external surface of the nanotubes. Ag/TNTs exhibited enhanced absorption at the visible range in the UV-Vis spectra. The Ag nanoparticles were found to significantly enhance the photocatalytic activity of  $TiO_2$  nanotubes, and the catalyst system was demonstrated to be highly efficient for the UV-light induced photocatalytic decomposition of MO compared to both rutile-phase  $TiO_2$  nanoparticles and pure TNTs. After irradiation for 60 min, the decomposition rates of MO solution in rutile-phase  $TiO_2$  nanoparticles, TNTs, and Ag/TNTs system were 46.8%, 57.2%, and 92.2%, respectively.

Received: March 14, 2008; Revised: April 9, 2008; Published on Web: June 17, 2008.

\*Corresponding author. Email: liucl@pku.edu.cn; Tel: +8610-62765905.

国家自然科学基金“十五”重大项目(10490180)、国家自然科学基金(20471005、10775008)、国防科工委军工遗留专项基金(科工计[2007]840)、教育部博士点基金(20060001032)及国家大学生创新训练计划资助

**Key Words:** Nanotubes; Titania; Ag; Hydrothermal method; Photocatalysis

$\text{TiO}_2$ 作为一种重要的无机材料,在工业领域有着广泛的应用。自1972年Fujishima报道了在光电池中受到辐照的 $\text{TiO}_2$ 半导体电极上可以发生持续的水氧化还原反应<sup>[1]</sup>, $\text{TiO}_2$ 半导体材料光催化氧化技术得到迅速发展,特别是在光催化降解环境有机污染物领域引起了研究者极大的关注<sup>[2-4]</sup>。相对于 $\text{TiO}_2$ 纳米粉体,二氧化钛纳米管(TNTs)具有更大的比表面积、特殊的表面区域和孔体积,而表现出独特的物理化学性质<sup>[5]</sup>,因而在光电转换和光催化领域具有诱人的应用前景。

常用的制备TNTs的方法有模板法<sup>[6,7]</sup>、电化学阳极氧化法<sup>[8,9]</sup>和水热法<sup>[10-13]</sup>。其中水热法具有操作容易、设备简单、过程易控制,制得的纳米管形貌均一、孔径小等优点,被广泛用于TNTs的制备。但是TNTs具有较大的禁带宽度,光吸收只是限于紫外范围,而且光生电子-空穴易重新复合,这些都影响其对太阳能的利用率,从而使得TNTs不能满足实际需要。有研究表明,用贵金属在 $\text{TiO}_2$ 纳米粒子表面沉积,能促进电子-空穴的有效分离,显著提高 $\text{TiO}_2$ 的光催化活性<sup>[14-17]</sup>。因此,若在TNTs表面沉积粒子尺寸适宜的贵金属,结合光生电荷载流子在一维纳米结构材料中的特殊运输机制,有望研制出高性能的光催化剂。而国内外此类研究刚刚开始。本文以金红石相 $\text{TiO}_2$ 粉体为原料,采用水热法合成二氧化钛纳米管(TNTs),利用低温振荡多元醇法制得表面负载Ag纳米粒子的二氧化钛纳米管(Ag/TNTs),重点研究了Ag纳米粒子沉积对TNTs光催化性能等的影响。本研究为贵金属量子点沉积TNTs的大规模应用做出了有益的探索。

## 1 实验部分

### 1.1 试 剂

金红石相二氧化钛( $\text{TiO}_2$ )粉体,粒径约为100~300 nm;氢氧化钠、盐酸、硝酸银、乙二醇、乙醇、甲基橙等试剂均为分析纯。实验用水为二次去离子水。

### 1.2 载Ag的二氧化钛纳米管(Ag/TNTs)的制备

TNTs的水热合成参考文献[10]所述方法进行:将2 g金红石相纳米 $\text{TiO}_2$ 原料和80 mL NaOH溶液(10 mol·L<sup>-1</sup>)混和均匀后,移入带聚四氟乙烯内衬的100 mL的高压釜中。密封后置于烘箱内,在110℃下加热24 h。然后在室温下自然冷却,用去离子水

将产物洗至中性,然后加入0.1 mol·L<sup>-1</sup> HCl溶液,超声分散3 min,用蒸馏水洗至中性,过滤后在烘箱中60℃干燥,产物置于干燥器中密封保存。

结合文献[18,19],制备了负载Ag纳米粒子的TNTs,主要步骤如下:将0.2 g制得的TNTs置于100 mL平底烧瓶中,加入20 mL乙二醇,加入少量NaOH溶液,调节pH值等于8,超声分散30 min,然后加入5 mL饱和 $\text{AgNO}_3$ 无水乙醇溶液,置于50℃下恒温水浴震荡8 h,室温冷却,用无水乙醇洗涤后,在烘箱中50℃下干燥后,得到黑褐色样品置于干燥器中密封保存。

### 1.3 样品的表征方法

使用Philips公司TECNAI F30场发射透射电子显微镜(TEM)观察样品的形貌特征,同时用TECNAI F30进行电子衍射能谱(EDS)分析;用MSAL XD2 X射线衍射仪(XRD)分析样品的晶型结构;用英国Kratos公司AXIS Ultra X射线光电子能谱(XPS)进行样品成分分析。样品的光学吸收性能在SHIMADZU UV-3100紫外-可见分光光度计上测得。

### 1.4 样品的光催化性能评价

在250 mL的石英反应器中加入0.1 g Ag/TNTs样品和200 mL甲基橙溶液(20 mg·L<sup>-1</sup>),在黑暗条件下充分搅拌15 min,使甲基橙达到吸附饱和(标记为 $C_0$ ),然后置于250 W高压汞灯下持续光照(主发射波长为365 nm)进行反应,每隔一段时间取出样品,用日立(Hitachi)公司U3010紫外-可见分光光度计测定甲基橙浓度(标记为 $C$ ),其最大吸收波长为464 nm。

## 2 结果与讨论

图1(a)是TNTs的TEM照片,可以观察到金红石相 $\text{TiO}_2$ 原料在强碱条件下经水热处理后,得到的产物为内径6 nm、外径10 nm、末端开口的中空纳米管,长度为几百纳米。其纳米管的形成机理可能是在水热条件下, $\text{TiO}_2$ 粉体在高温、高压和强碱作用下,被剥离成片层,由于其片状结构不稳定,在酸处理过程中逐渐卷曲为稳定的管状结构<sup>[20]</sup>。图1(b)为Ag/TNTs的TEM照片。与纯TNTs相比,管的形状没有发生明显改变,但可以清楚地观察到椭圆型或圆形的Ag纳米粒子均匀地负载在纳米管表面,Ag纳米粒子直径约为4 nm,除在纳米管表面发现Ag纳米粒子,并没有发现在管内单独存在的Ag纳米粒子。通过控制pH

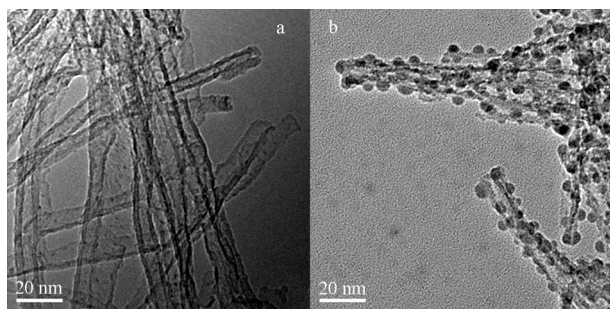


图 1 样品透射电镜照片

Fig.1 TEM images of as-prepared samples

(a) TNTs, (b) Ag/TNTs

值,可以使得Ag的修饰过程缓慢进行。另外在恒温水浴下振荡,可以保持加热的均匀性,避免液相中的温度和浓度的不均,使Ag纳米粒子的成核和生长有一个相同的环境,从而得到颗粒细小和分布均匀的Ag纳米粒子。

图2(b)为TNTs的XRD图谱,其特征衍射峰与金红石相原料(图2(a))相比,发生了明显变化,经物相检索,特征衍射峰应归属于 $\text{H}_2\text{Ti}_2\text{O}_5 \cdot \text{H}_2\text{O}$ (JCPDS No.47-0124)。图2(c)为Ag/TNTs的XRD图谱,经Ag表面修饰后,纳米管的晶型结构没有发生明显变化,只是相对TNTs的衍射峰,Ag/TNTs在 $2\theta=38^\circ$ 处的峰得到了明显增强。表面负载Ag后,增强的峰( $2\theta=38^\circ$ )应归属于单质Ag的(111)晶面的特征衍射峰(JCPDS No.04-0783)。

图3(a)是TNTs的EDS谱图,结果表明,TNTs样品中含有Ti、O及少量Na元素(图谱中Cu为电镜观察所用微栅中的Cu元素)。图3(b)为Ag/TNTs的EDS结果,与纯TNTs相比,除了有Ti、O、Na元素外,还出现了Ag的特征峰,这也进一步证明了Ag纳米粒子负载在纳米管上。Ag/TNTs的XPS谱图如图4所示。Ag在3d区域的结合能为368.25 eV(Ag 3d<sub>5/2</sub>)和374.34 eV(Ag 3d<sub>3/2</sub>),与Ag的单质状态(Ag<sup>0</sup>)的标准结合能(368.25

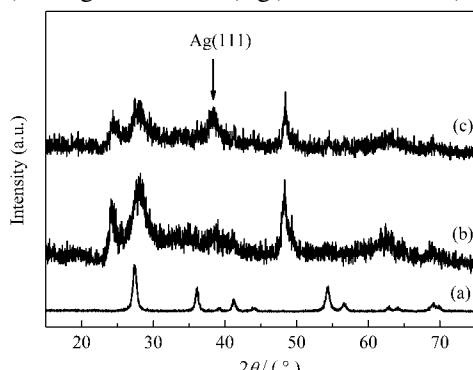


图 2 样品的 XRD 图谱

Fig.2 XRD patterns of samples

(a) rutile raw material, (b) TNTs, (c) Ag/TNTs

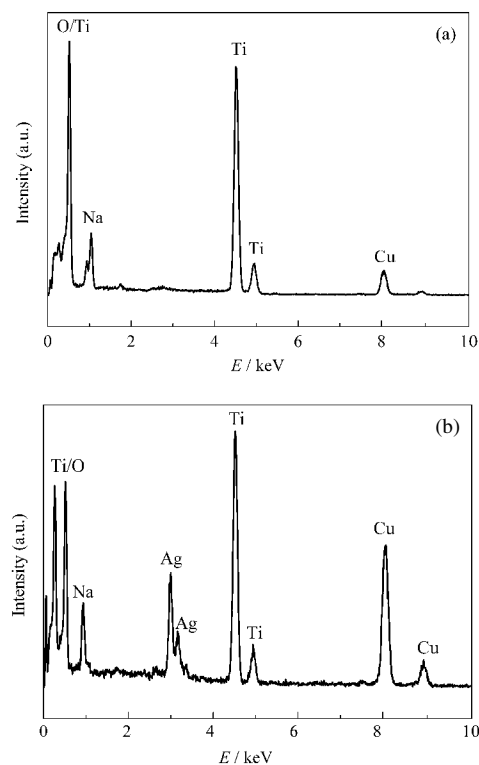


图 3 样品的 EDS 图谱

Fig.3 EDS spectra of samples

(a) TNTs, (b) Ag/TNTs

eV)相一致,表明负载在纳米管上的Ag粒子以零价态的单质银的形式存在,这也与XRD的分析结果相一致。XPS的定量分析结果表明,样品表面Ag的相对原子浓度约为6%。

图5为金红石相 $\text{TiO}_2$ (a)、TNTs(b)和Ag/TNTs(c)在250–800 nm的紫外-可见吸收光谱。通过对比三种样品的光学吸收曲线可以看出,Ag/TNTs的光学吸收阈值与TNTs和金红石相 $\text{TiO}_2$ 的相近,这表明负载Ag纳米粒子对TNTs的光学禁带宽度影响不大。值得注意的是,Ag/TNTs样品在可见光区域出现了较强的吸收,这主要是由于纳米管表面负载

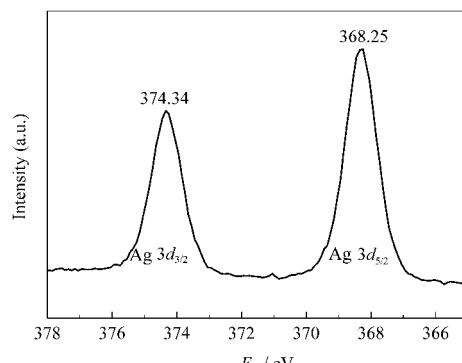


图 4 Ag/TNTs 样品的 XPS 图谱

Fig.4 XPS spectrum of Ag/TNTs

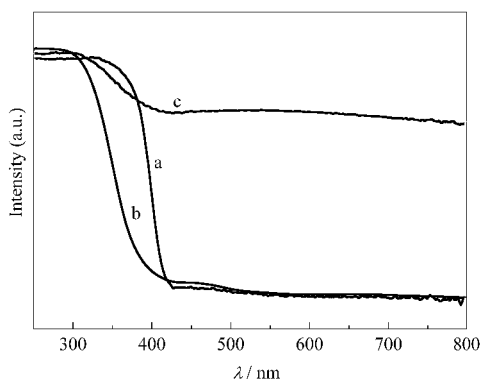


图 5 样品的 UV-Vis 光谱

Fig.5 UV-Vis spectra of samples

(a) rutile raw material, (b) TNTs, (c) Ag/TNTs

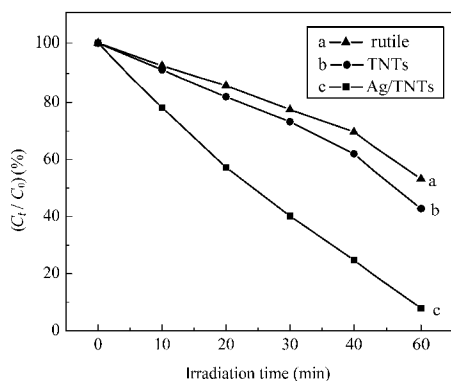


图 6 样品在不同时间对甲基橙的光催化效果

Fig.6 Photocatalytic activities vs time of samples to methyl orange

的 Ag 纳米粒子的吸收所致。

图 6 给出了金红石相  $\text{TiO}_2$ , TNTs 和 Ag/TNTs 紫外光催化降解甲基橙的曲线。为了进行对比, 在相同实验条件下同时进行了金红石相  $\text{TiO}_2$  和 TNTs 的光催化降解实验。光催化降解 60 min 后, 金红石相  $\text{TiO}_2$ , TNTs 和 Ag/TNTs 对甲基橙溶液的降解率分别达到 46.8%、57.2% 和 92.2%。TNTs 的光催化性能要稍优于金红石相  $\text{TiO}_2$ , 而经过载 Ag 后, Ag/TNTs 的光催化活性较纯 TNTs 的光催化性能有更显著的提高。这可能主要是由以下两方面因素造成的: (i) 由前面的表征可知, Ag 纳米粒子在 TNTs 表面的沉积能够有效地促进光催化剂对光子的利用率, 提高样品的光学响应范围, 进而提高其光催化活性; (ii) 由于 Ag 纳米粒子负载在 TNTs 表面, 能够有效地捕获光电子, 促进光生电子与空穴分离, 进而提高 TNTs 的光催化性能。

### 3 结 论

以金红石相  $\text{TiO}_2$  粉体为原料, 采用水热法合成了二氧化钛纳米管 (TNTs), 其管长大于 100 nm, 内径和外径分别为 6 和 10 nm。然后在碱性条件下, 利用低温振荡多元醇法, 得到了表面负载单质 Ag 的二氧化钛纳米管(Ag/TNTs)。经 Ag 表面修饰后, 纳米管的晶型结构没有发生明显变化, Ag 粒子粒径约为 4 nm, 且在纳米管表面分布均匀。与 TNTs 相比, Ag/TNTs 样品在可见光区域出现了较强的吸收。光催化降解甲基橙溶液结果表明, Ag/TNTs 催化剂的催化性能明显大于金红石相  $\text{TiO}_2$  和 TNTs。

### References

- 1 Fujishima, A.; Honda, K. *Nature*, **1972**, *238*: 37
- 2 Linsebigler, A. L.; Lu, G. Q.; Yates, J. T. *Chem. Rev.*, **1995**, *95*: 735
- 3 Zhang, Q. H.; Gao, L.; Guo, J. K. *J. Inor. Mater.*, **2000**, *15*: 556
- 4 Ding, Y. W.; Wu, Y.; Fan, C. Z. *Chin. J. Chem. Phys.*, **2002**, *15*: 465
- 5 Yu, J. G.; Yu, H. G.; Cheng, B.; Trapalis, C. *J. Mol. Catal. A: Chem.*, **2006**, *249*: 135
- 6 Hoyer, P. *Langmuir*, **1996**, *12*: 1411
- 7 Jung, J. H.; Kobayashi, H.; van Bommel, K. J. C.; Shinkai, S.; Shimizu, T. *Chem. Mater.*, **2002**, *14*: 1445
- 8 Gong, D.; Grimes, C. A.; Varghese, O. K.; Hu, W. C.; Singh, R. S.; Chen, Z.; Dickey, E. C. *J. Mater. Res.*, **2001**, *16*: 3331
- 9 Mor, G. K.; Varghese, O. K.; Paulose, M.; Shankar, K.; Grimes, C. A. *Sol. Energ. Mat. Sol. C*, **2006**, *90*: 2011
- 10 Kasuga, T.; Hiramatsu, M.; Hoson, A.; Sekino, T.; Niihara, K. *Langmuir*, **1998**, *14*: 3160
- 11 Yao, B. D.; Chan, Y. F.; Zhang, X. Y.; Zhang, W. F.; Yang, Z. Y.; Wang, N. *Appl. Phys. Lett.*, **2003**, *82*: 281
- 12 Suzuki, Y.; Yoshikawa, S. *J. Mater. Res.*, **2004**, *19*: 982
- 13 Hao, Y. Z.; Han, W. T. *Acta Phys. -Chim. Sin.*, **2006**, *22*(2): 221 [郝彦忠, 韩文涛. 物理化学学报, **2006**, *22*(2): 221]
- 14 Tauster, S. J.; Fung, S. C.; Garten, R. L. *J. Am. Chem. Soc.*, **1978**, *100*: 170
- 15 Iliev, V.; Tomova, D.; Bilyarska, L.; Petrov, L. *Catal. Commun.*, **2004**, *5*: 759
- 16 Seery, M. K.; George, R.; Floris, P.; Pillai, S. C. *J. Photoch. Photobio. A: Chem.*, **2007**, *189*: 258
- 17 Zhang, C.; He, H. *Catal. Today*, **2007**, *126*: 345
- 18 Bao, H. H.; Xu, Z. D.; Yin, H. Y.; Zheng, Y. F.; Chen, W. X. *Chin. J. Inorg. Chem.*, **2005**, *21*: 374 [包华辉, 徐铸德, 殷好勇, 郑遵凡, 陈卫祥. 无机化学学报, **2005**, *21*: 374]
- 19 Li, H. B.; Duan, X. C.; Liu, G. C.; Liu, X. Q. *J. Mater. Sci.*, **2008**, *43*: 1669
- 20 Kukovecz, A.; Hodos, N.; Horvath, E.; Radnoci, G.; Konya, Z.; Kiricsi, I. *J. Phys. Chem. B*, **2005**, *109*: 17781